

## 8. Quarks, Gluonen, Hadronen

Nukleonen bestehen aus geladenen punktförmigen Teilchen mit Spin  $\frac{1}{2}$ .

Baue Eigenschaften der Nukleonen aus den Konstituenten auf: QUARKS

	u	d	p	n
Ladung z	$\frac{2}{3}$	$-\frac{1}{3}$	1	0
Isospin I	$\frac{1}{2}$	$\frac{1}{2}$	$\frac{1}{2}$	$\frac{1}{2}$
I <sub>3</sub>	$\frac{1}{2}$	$-\frac{1}{2}$	$\frac{1}{2}$	$-\frac{1}{2}$
Spin s	$\frac{1}{2}$	$\frac{1}{2}$	$\frac{1}{2}$	$\frac{1}{2}$

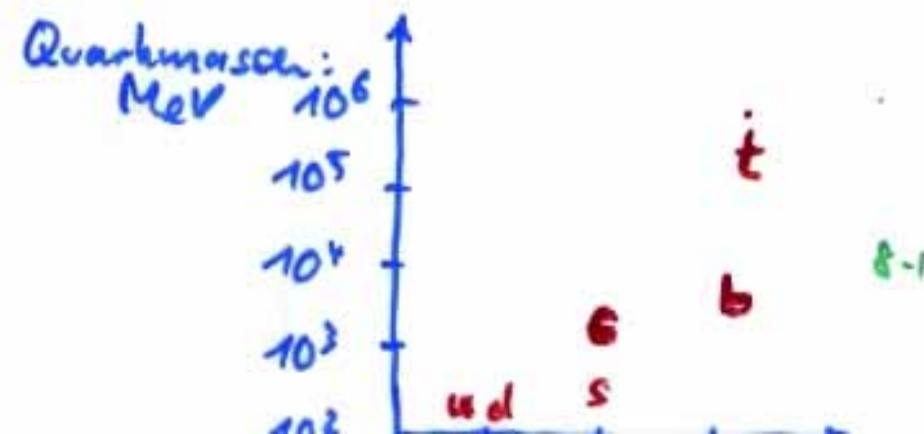
◁ drittelzählige Ladungen korrekt, aber noch nicht eindeutig. Weitere Hinweise:  
 $\Delta^{++} = uuu$   
 $\Delta^+ = uud$   
 $\Delta^0 = udd$   
 $\Delta^- = odd$   
 ~~$\Delta^{--}$~~  existiert nicht

erfordert mindestens 3 Quarks im Nukleon

Es gibt insgesamt 6 Quarks:

$z_f = +\frac{2}{3}$ : u c t

$z_f = -\frac{1}{3}$ : d s b



## Strukturfunktionen und Quarkladungen

$$F_2^{eP}(x) = x \cdot \left[ \frac{1}{9} (d_v^P + d_s + \bar{d}_s) + \frac{4}{9} (u_v^P + u_s + \bar{u}_s) + \frac{1}{9} (s_s + \bar{s}_s) \right]$$

$$F_2^{en}(x) = x \cdot \left[ \frac{1}{9} (d_v^n + d_s + \bar{d}_s) + \frac{4}{9} (u_v^n + u_s + \bar{u}_s) + \frac{1}{9} (s_s + \bar{s}_s) \right]$$

Isospin-Symmetrie:  $p \leftrightarrow n$  entspricht  $u \leftrightarrow d$ -Vertauschung

also:

$$u_v^P = d_v^n$$

$$d_v^P = \cancel{d} u_v^n$$

⇒

$$\begin{aligned} F_2^{eN}(x) &= \frac{1}{2} x \cdot \left[ \frac{1}{9} d_v^P + \frac{1}{9} d_s + \frac{1}{9} \bar{d}_s + \frac{4}{9} u_v^P + \frac{4}{9} u_s + \frac{4}{9} \bar{u}_s \right. \\ &= \frac{1}{2} (F_2^{eP} + F_2^{en}) \quad \left. + \frac{1}{9} u_v^P + \frac{1}{9} d_s + \frac{1}{9} \bar{d}_s + \frac{4}{9} d_v^P + \frac{4}{9} u_s + \frac{4}{9} \bar{u}_s + \frac{2}{9} (s_s + \bar{s}_s) \right] \end{aligned}$$

$$= \frac{1}{2} x \cdot \left[ \frac{1}{9} (d + \bar{d}) + \frac{4}{9} (u + \bar{u}) + \frac{1}{9} (u + \bar{u}) + \frac{4}{9} (u + \bar{u}) + \frac{2}{9} (s + \bar{s}) \right]$$

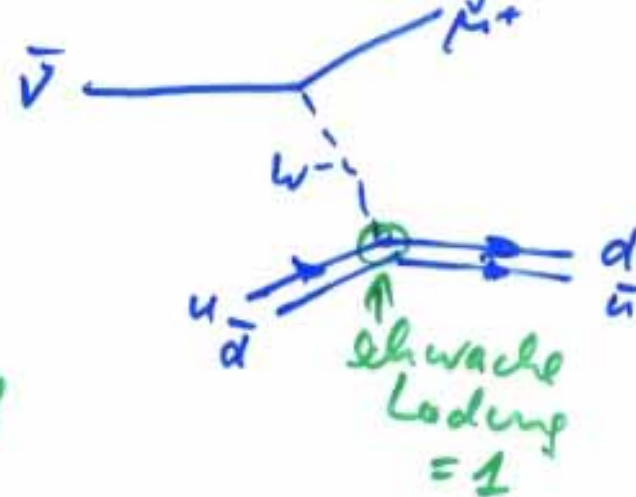
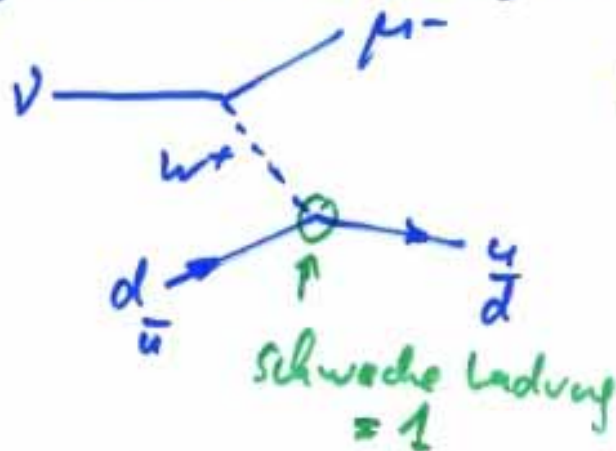
$$= \frac{5}{18} x \cdot [u + \bar{u} + d + \bar{d}] + \underbrace{\frac{1}{9} x (s + \bar{s})}_{\text{Valent } + \text{ Sea - PDF}}$$

Klein, nur Seequarks

s-Quarks vernachlässigen  $\Rightarrow F_2^{eN}(x) = \boxed{\frac{5}{18}} \times \sum (q(x) + \bar{q}(x))$

$$= \langle z_f^2 \rangle \quad f = u, d$$

vgl. Neutrino- Streuung + Antineutrino- Streuung:



$$= \frac{1}{2} (z_u^2 + z_d^2) = \frac{1}{2} \left( \left(\frac{2}{3}\right)^2 + \left(\frac{1}{3}\right)^2 \right)$$

$$F_2^{\nu, \bar{\nu} N}(x) \approx \frac{18}{5} \cdot F_2^{eN}(x)$$

$\Rightarrow$  siehe später  
Schwache WW

- $q_v(x)$  hat Maximum bei  $x \approx 0.17$

mittlerer Impulsanteil eines Valenzquarks:  $\langle x_v \rangle \approx 0.12$

$$\int_0^1 F_2^{\nu N}(x) dx \approx \frac{18}{5} \int_0^1 F_2^{eN}(x) dx = 0.5$$

d.h. weitere 50% des Nukleonimpulses wird von ~~Träger~~ Teilchen getragen,  
die keine elektrische und ~~keine~~ keine schwache Ladung tragen.

Bilde  $\frac{F_2^n}{F_2^p}$  und untersche Grenzfälle:

$x \rightarrow 0$ :  $F_2^n/F_2^p = 1 \Rightarrow$  Seequarks dominieren,  
sind gleich in p und n

$$x \rightarrow 1: \frac{F_2^n}{F_2^p} \approx \frac{1}{4} = \frac{z_d^2}{z_u^2}, \text{ nicht } = \frac{2}{3} = \frac{2z_d^2 + z_u^2}{z_d^2 + 2z_u^2}$$

$\Rightarrow$  Quarks spielen nicht alle die gleiche Rolle  
im Nukleon; das  $\binom{u}{d}$ , dass  $\binom{p}{n}$   
unterscheidet, hat eine Sonderrolle (was liegt)  
(noch nicht sehr gut verstanden)

## Quarks in Hadronen

Hadronen = stark wechselwirkende Teilchen

Baryonen

„schwere“

$q q q$

halbzahliges Spin

Fermionen

p, n leichteste Baryonen

Experimenteller Befund: Anzahl der Baryonen - Anzahl der Antibaryonen ist bei jeder Reaktion konstant

$$N_B - N_{\bar{B}} = \text{konstant}$$

Def. Baryonenzahl

$B = \begin{cases} +1 & \text{für Baryonen} \\ +1/3 & \text{für } q \end{cases}$ ,  $B = -1$  für Antibaryonen

$B_q = -1/3$  für  $\bar{q}$

Bsp: Protonenzerfall „verborgen“

Proton:  $B=1/3 + 1/3 + 1/3 = 1$

$\Sigma B = \text{konstant}$

Leichteste Hadronen: Pionen = Mesonen mit  $m \approx 140$  MeV  
 Isospin - Triplet ( $I=1$ ):  $\pi^+, \pi^0, \pi^-$

Zerfall nur in Leptonen oder Photonen möglich:

$\pi^+$ =	$u\bar{d}$	$\rightarrow \mu^+ \nu$	Schwach
$\pi^-$ =	$\bar{u} d$	$\rightarrow \mu^- \bar{\nu}$	Schwach
$\pi^0$ =	$\frac{1}{\sqrt{2}} (u\bar{u} - d\bar{d})$	$\rightarrow \gamma\gamma$	e.w.

↑

Flavour - Wellenfunktion  
 (Quark-Zusammensetzung)

Ioskalaler Partner des  $\pi^0$ :  $\eta^8 = \frac{1}{\sqrt{2}} (u\bar{u} + d\bar{d})$   
 ist ein anderes Teilchen  
 (andere Masse, Lebensdauer, Zerfallsmodi etc.)

Mesonen haben Baryonenzahl 0

$$B = 3 \# u + \# \bar{u} = 0$$

## Quark-Gluon-Wechselwirkung

- Betrachte Pauli-Prinzip für 3-Quark-Systeme, z.B.  $\Delta^{++}$ ,  $J^P = \frac{3}{2}^+$ ,  $m = 1235$  MeV

Ortswellenfunktion  $\leftrightarrow$  Grundzustand  
symmetrisch  $\leftrightarrow$  Bahndrehimpuls  $L=0$   $\leftrightarrow$  leichtestes Baryon mit diesen Quantenzahlen

Spinwellenfunktion :  $\uparrow\uparrow\uparrow$  symmetrisch

Flavour-Wellenfunktion  $u u u$  symmetrisch

$\Rightarrow$  Gesamtwellenfunktion symmetrisch unter Austausch zweier Quarks? Aber  $J = 3/2$ : Verstoß gegen Pauli-Prinzip

- Betrachte WQ für Reaktion  $e^+ e^- \rightarrow q_f \bar{q}_f$ , Vergleiche mit  $f: u, d, s, c \dots$ .  $WQ(e^+ e^- \rightarrow \mu^+ \mu^-)$

$$R = \frac{\sigma(e^+ e^- \rightarrow \text{Hadronen})}{\sigma(e^+ e^- \rightarrow \mu^+ \mu^-)} = \frac{\sum_f \sigma(e^+ e^- \rightarrow q_f \bar{q}_f)}{\sigma(e^+ e^- \rightarrow \mu^+ \mu^-)} = n_c \cdot \sum_f z_f^2$$

aufgrund von Resonanzen alle Hadronen in  $\sum_f$  mitnehmen, die kinematisch erlaubt sind  
(nicht zu schwer sind)

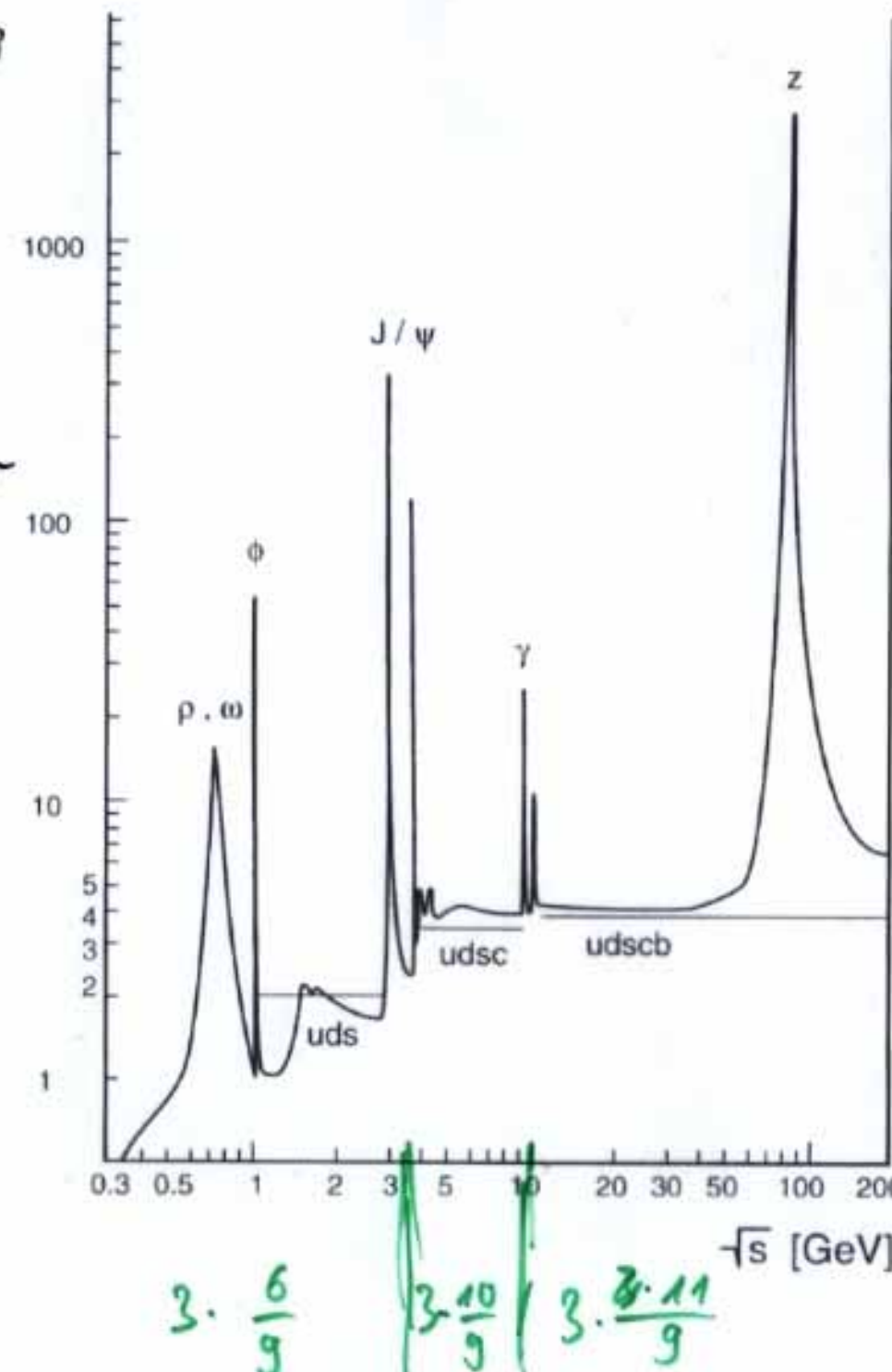
$$\text{Exp: } n_c = 3$$

$$R = \frac{\sigma(e^+e^- \rightarrow \text{Hadronen})}{\sigma(e^+e^- \rightarrow \mu^+\mu^-)} R$$

$$= n_c \cdot \sum_{f(\sqrt{s})} z_f^2$$

Referenz für  
Streuung punkt  
fürmiger  
Teilchen

zugänglicher Bereich  
je nach Schwer-  
punktenergie



$e^+e^- \rightarrow \text{Hadronen} =$   
inkohärente Summe  
von unterschiedlichen  
Endzuständen

$$e^+e^- \rightarrow q_{f.c.} \bar{q}_{f.c}$$

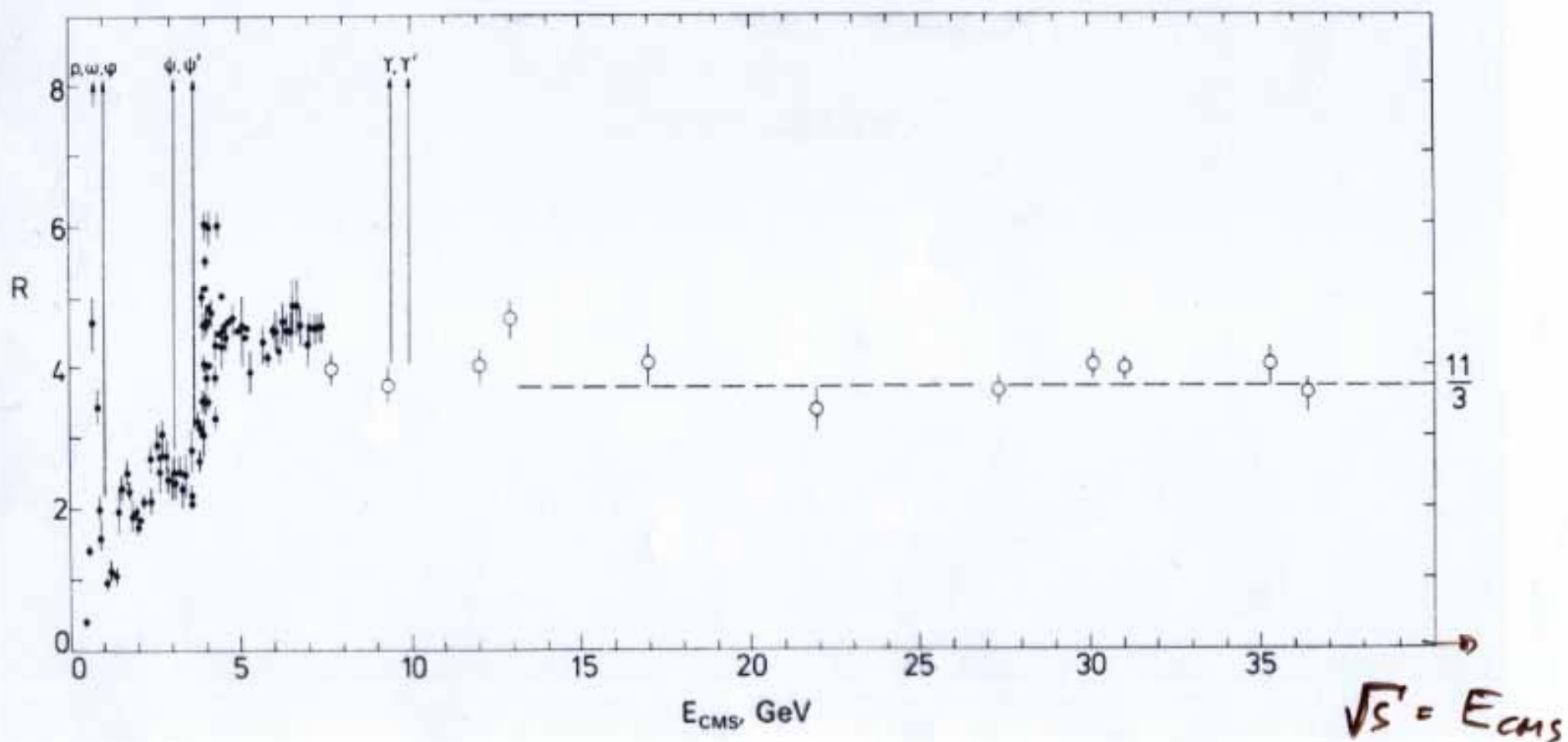
und Fragmentation  
(Hadronisation)

$q \rightarrow \text{Hadronen}$   
mit Wahrscheinlichkeit  
100%

Anzahl der  
Farben  
( $N$ -colour)

$$\Rightarrow N_c = 3$$

$$R = \frac{\sigma(e^+e^- \rightarrow \text{Hadronen})}{\sigma(e^+e^- \rightarrow \mu^+\mu^-)} = n_c \cdot \sum_{f(\sqrt{s})} z_f^2$$



Mit 3 farbigen Quarks kann eine antisymmetrische Wellenfunktion konstruiert werden:

r g b

Quarks tragen Farbe (Triplet  $\textcircled{3}$ )

Antiquarks tragen Antifarbe (Anti-Triplet  $\bar{\textcircled{3}}$ )

Alle beobachtbaren Hadronen sind farblos (Farb-Singletts)

Mesonen:  $\textcircled{3} \times \bar{\textcircled{3}} \rightarrow \textcircled{1} + \textcircled{8}$

Baryonen:  $\textcircled{3} \times \textcircled{3} \times \textcircled{3} \rightarrow \textcircled{1} + \textcircled{8} + \textcircled{8} + \textcircled{10}$

SU(3)-Gruppentheorie

8 Gluonen tragen Farbe und Antifarbe (Color-Octet  $\textcircled{8}$ )

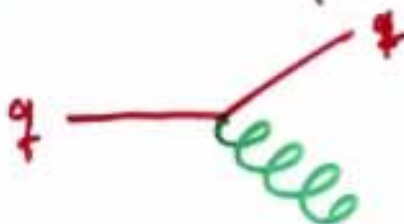
z.B.

$$r\bar{g}, r\bar{b}, g\bar{b}, g\bar{r}, b\bar{r}, b\bar{g}, \frac{rr-gg}{\sqrt{2}}, \frac{r\bar{r}+g\bar{g}-2b\bar{b}}{\sqrt{6}}$$

Können untereinander koppeln, weil sie selbst geladen sind.

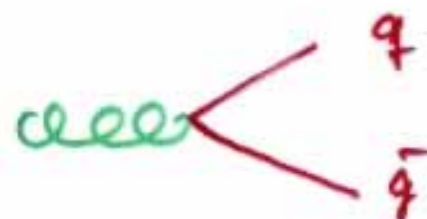
Sonst analog zum Photon: masselos,  $J^P = 1^-$  (Vektorboson)

# Wechselwirkungen zwischen Quarks und Gluonen:



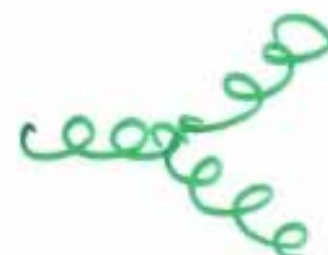
Gluon-Absorption  
vom Quark

$$q \rightarrow q g$$



Gluon-Aufspaltung

$$g \rightarrow q \bar{q}$$



Gluon-Selbstkopplung

3-Gluon-Vertex

$$g \rightarrow gg$$

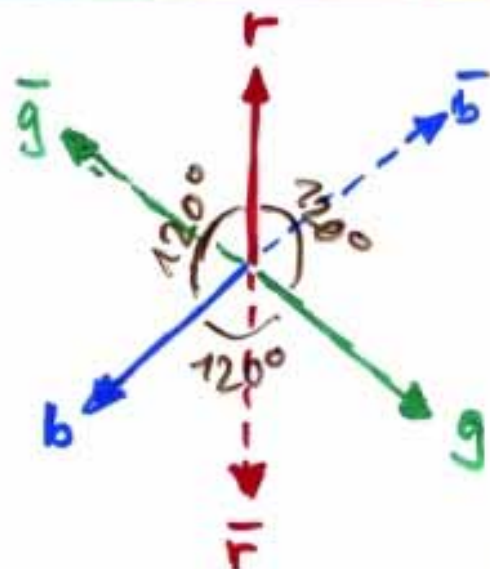


4-Gluon-Vertex

$$gg \rightarrow gg$$

Darstellung  
in 2D:

(120°-Winkel)



$qq$   
 $q\bar{q}\bar{q}$

verboten,  
da nicht  
farbenneutral

für aber  $gg$ ,  $q\bar{q}g$ ,  $q\bar{q}\bar{q}$ ,  $qq\bar{q}\bar{q}$ ,  $qq\bar{q}\bar{q}\bar{q}$

Glueball

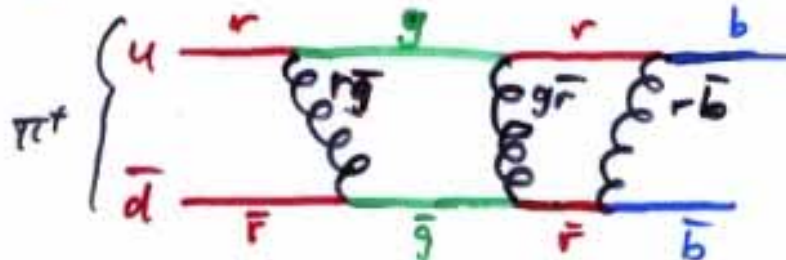
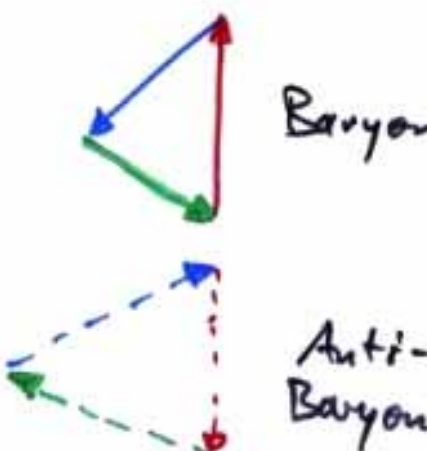
Hybrid

4-Quarks

Pentaquarks

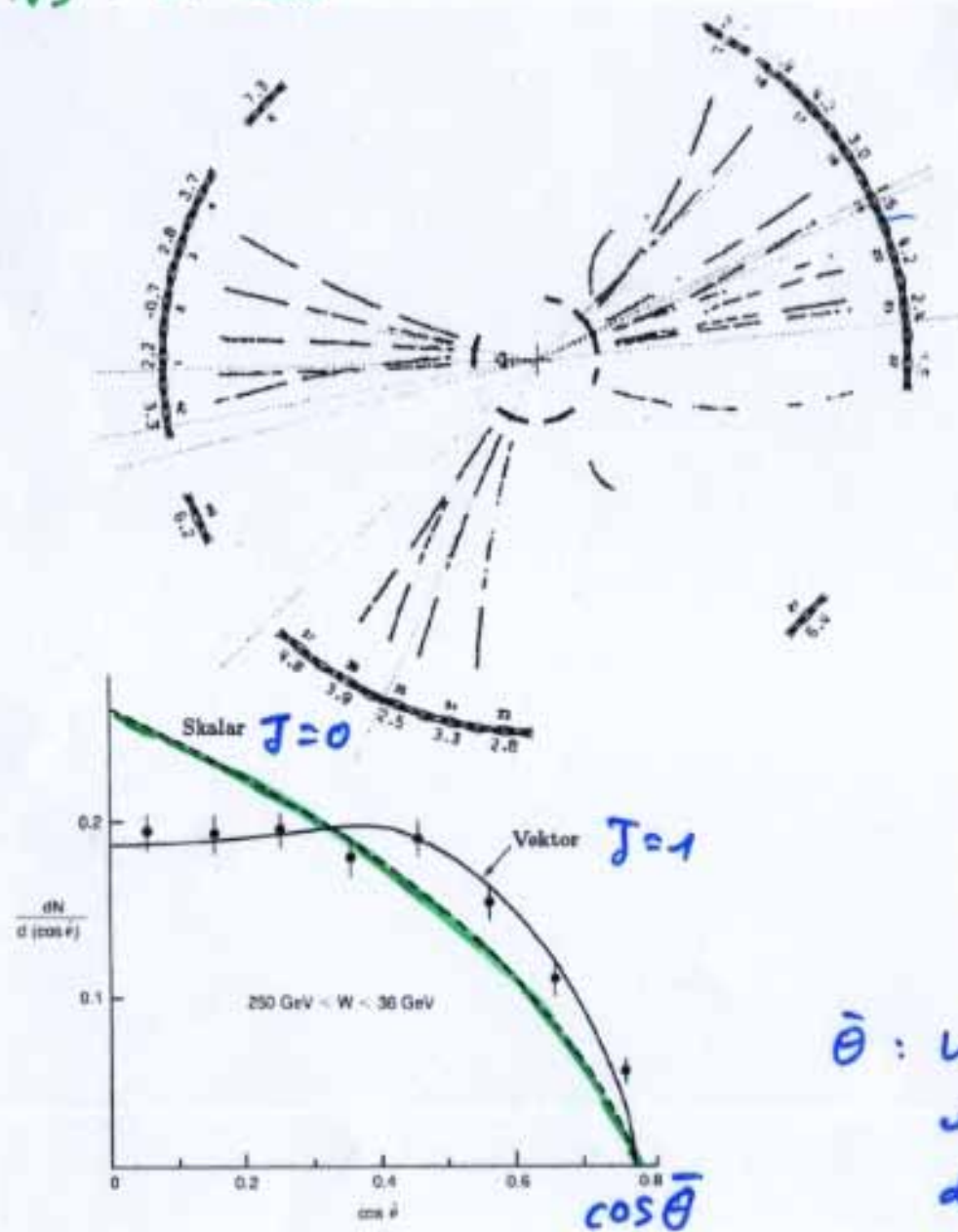
farbloses Objekt:

$$\text{Meson: } |\pi^+\rangle = \begin{cases} u_r d_F \\ u_g d_S \\ u_b d_B \end{cases}$$

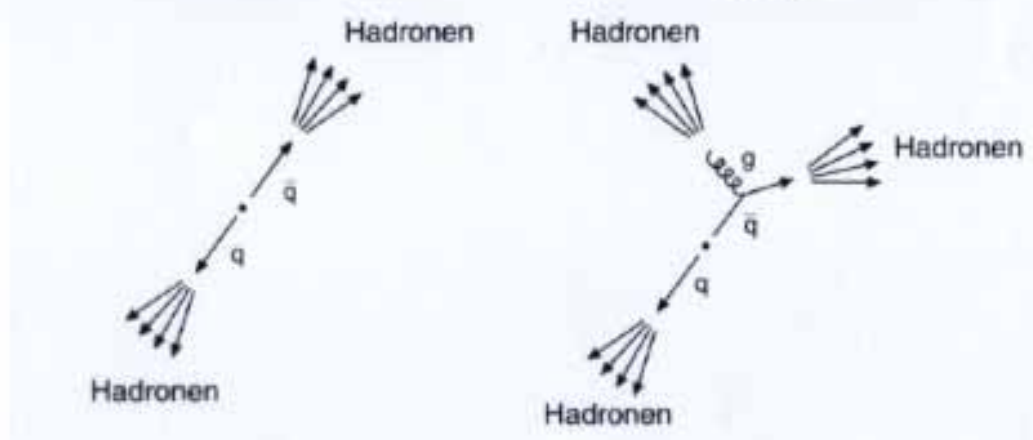
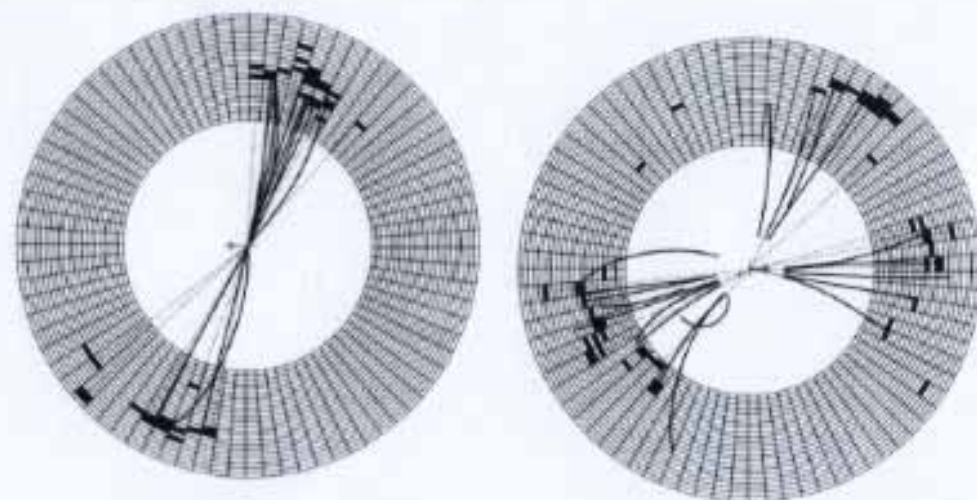


können farbenutral sein!  
→ exotisch, einige Kandidaten

JADE bei PETRA  
 $\sqrt{s} = 31$  GeV

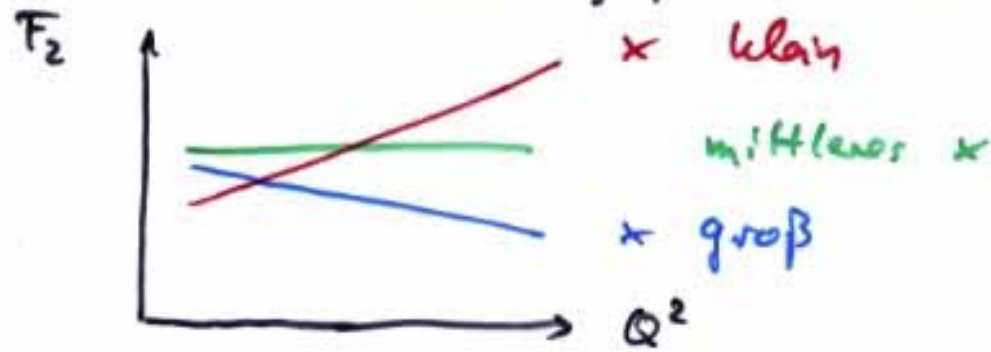


2- und 3-Jet-Ereignisse



$\hat{\theta}$ : Winkel zwischen höchstenenergetischen Jet und Fluglinie oder anderen beiden in deren CMS:  
 Gluonen haben Spin 1

Skalenbrechung :  $F_2$  hängt bei hohen  $Q^2$  doch von  $Q^2$  ab  
(für große und kleine  $x$ )

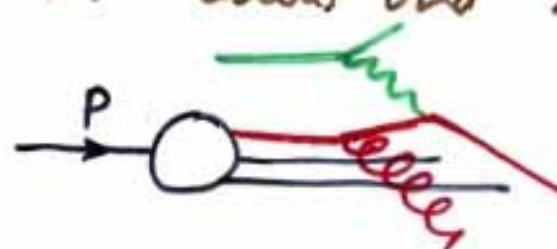
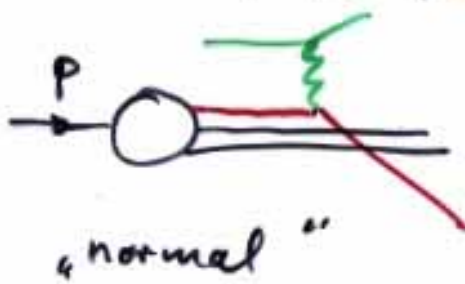


doch endliche Ausdehnung?  
der Quarks

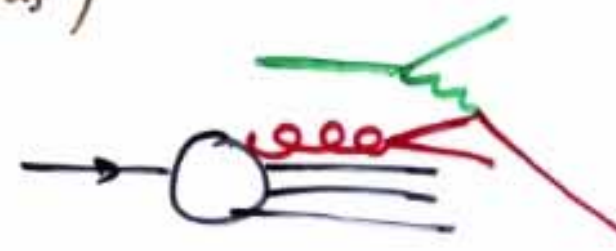
NETN: Auflösung von  
virtuellen Substrukturen,  
im Quarkverbund

(ein Quark „besteht“ aus Quarks und Gluonen

ein Gluon „besteht“ aus Quarks und Antiquarks)



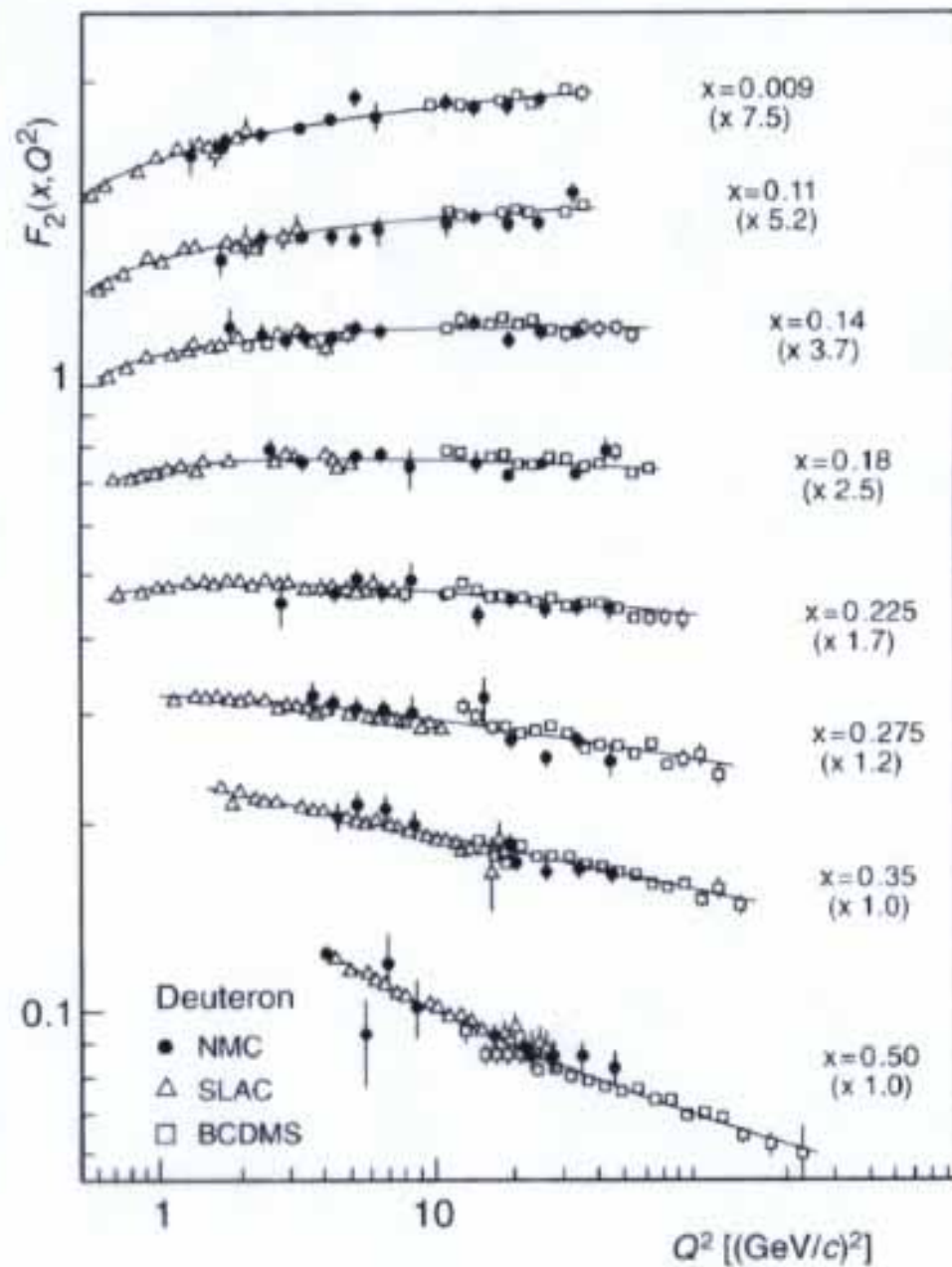
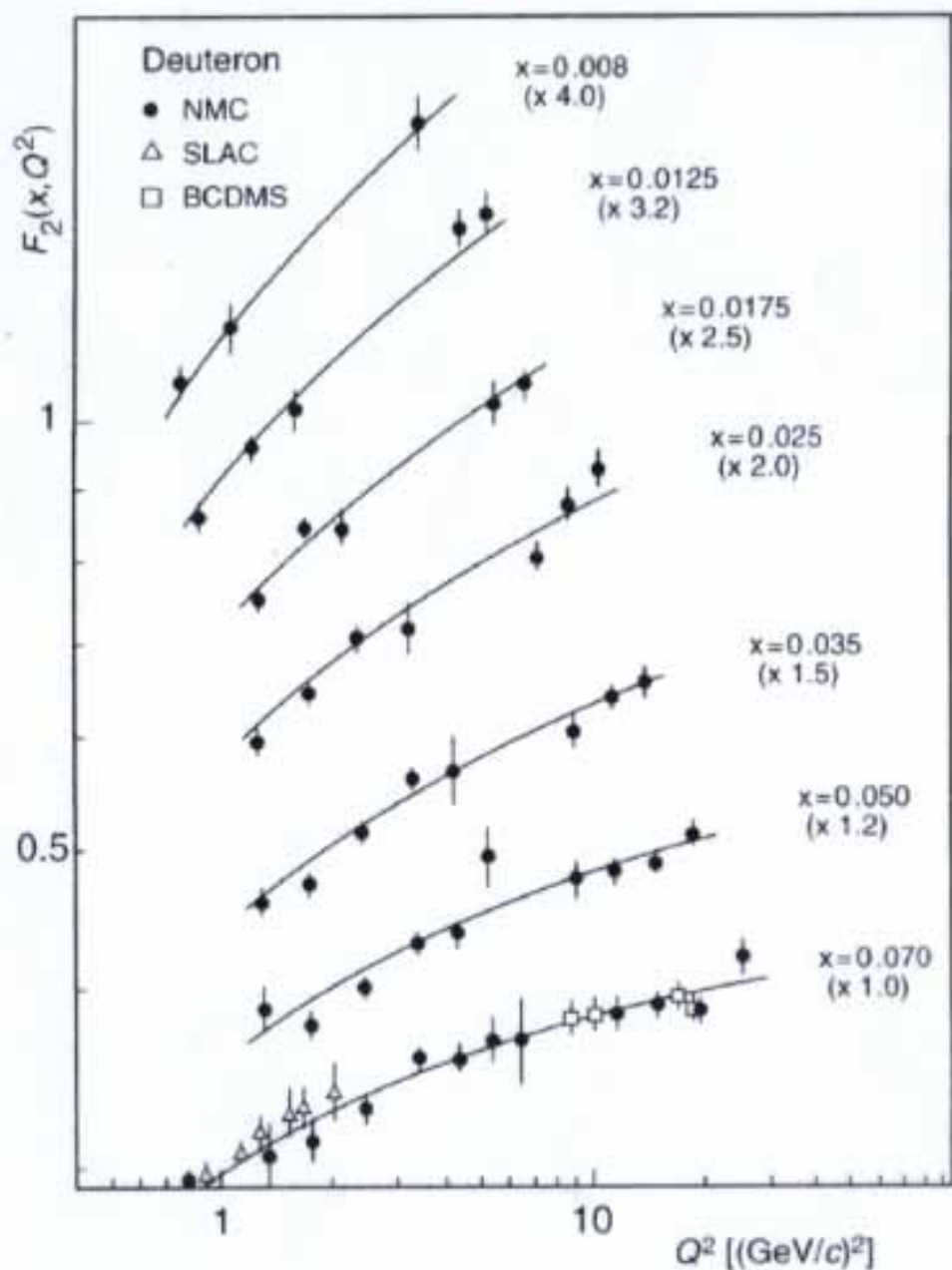
Quark mit Impuls  $y \cdot P$   
strahlt Gluon ab und  
trägt danach Impuls  $z \cdot P$   
(kleiner!)



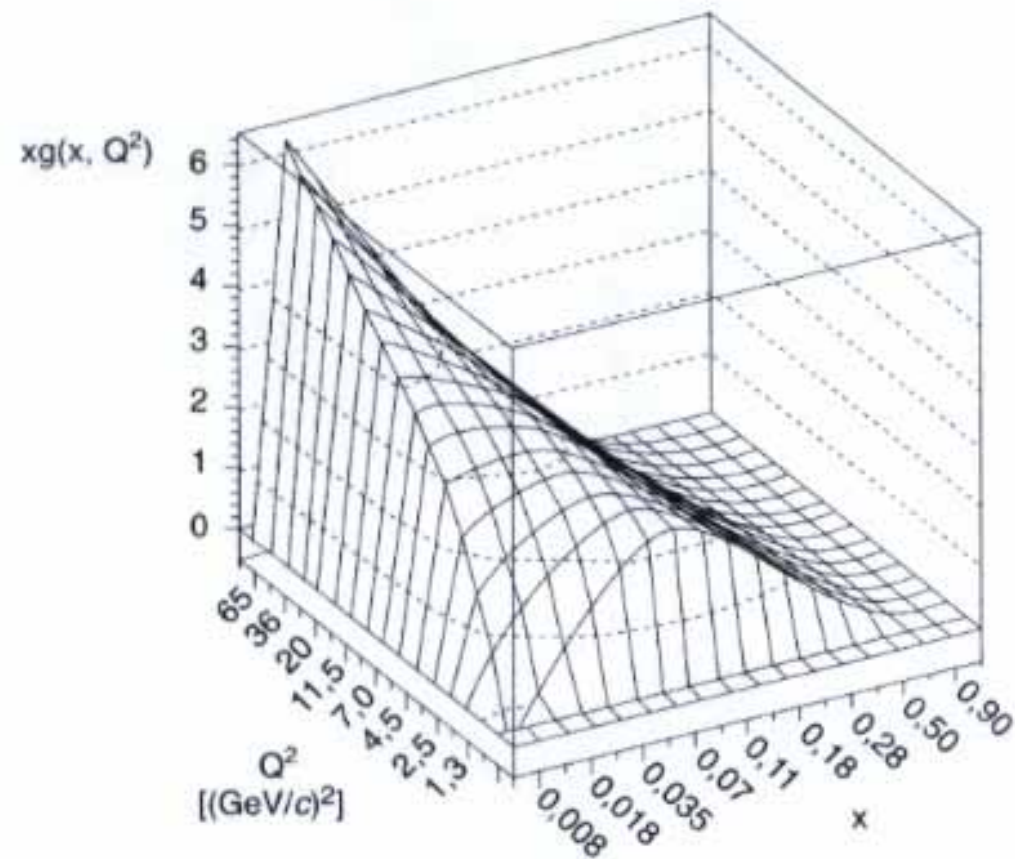
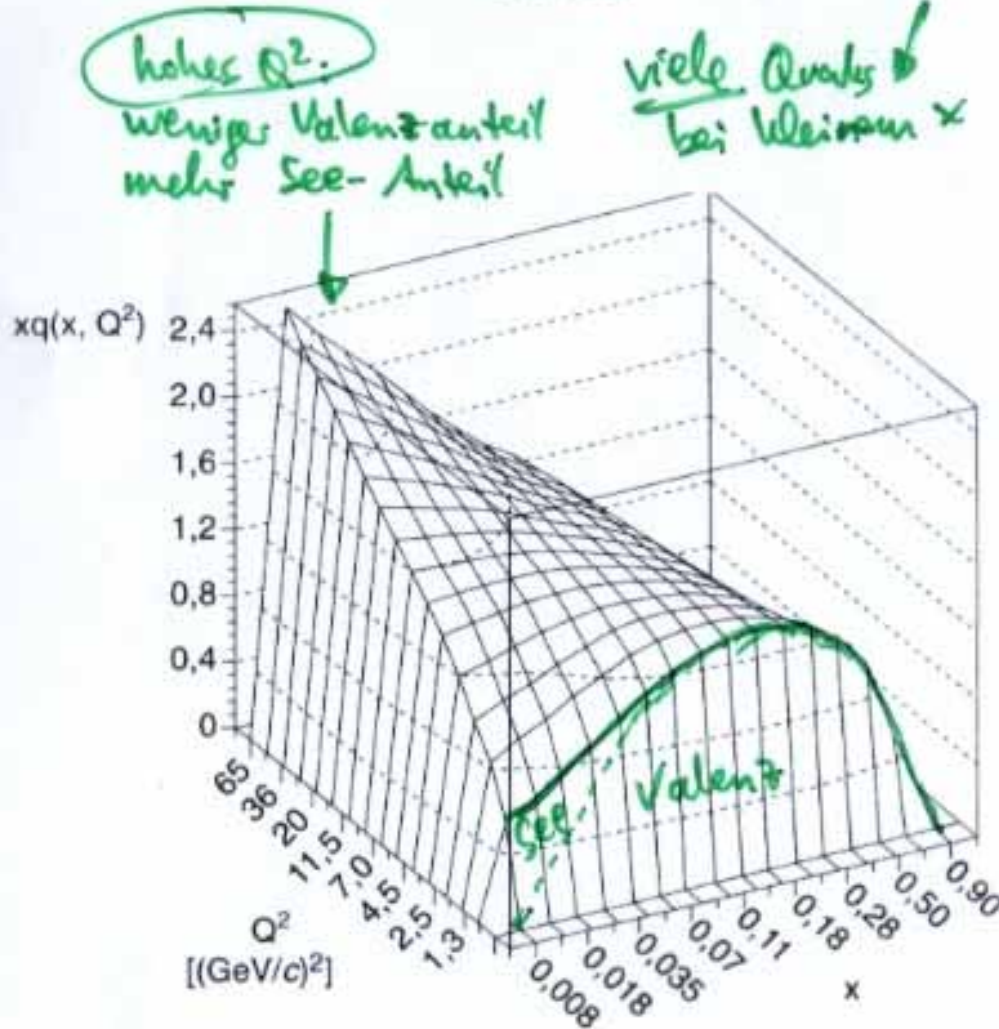
Gluon „zerfällt“  
in  $q\bar{q}$ , von denen  
eines vom Photon  
getroffen wird

Je höher  $Q^2$ , desto häufiger können Aufspaltungsprozesse stattfinden.  
⇒ Entwicklung in der QCD vorhersagbar  
Altarelli - Parisi - Gleichungen (gekoppelte Diff. / Integralgleichungen)

# Skalenbrechung : Impulsverteilungen im Nukleon $\Rightarrow \alpha_s, \Lambda_{\text{QCD}}$



# $Q^2$ - Evolution von Quark- und Gluon-Verteilungen



$$x \cdot q(x) = \sum_f x \cdot (q_f(x) + \bar{q}_f(x)) \\ \approx \frac{18}{5} F_2^d$$

$$G(x, Q^2) = x \cdot g(x)$$

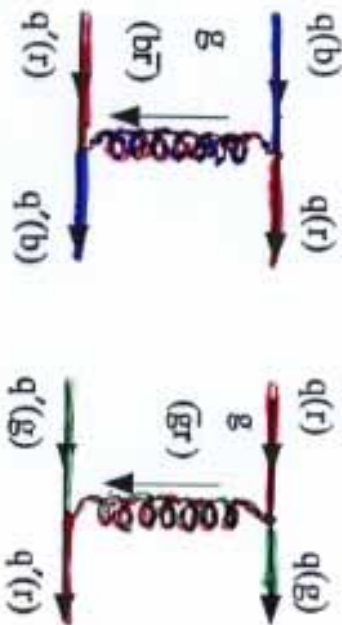


Abb. II.28: Starke Wechselwirkung durch Gluonenaustausch ( $q, q' = \text{Quarks}, g = \text{Gluon}; (r), (g), (b)$  steht für die Farbladungen rot, grün und blau); symbolische Darstellung in Anlehnung an *Feynman*-Graphen

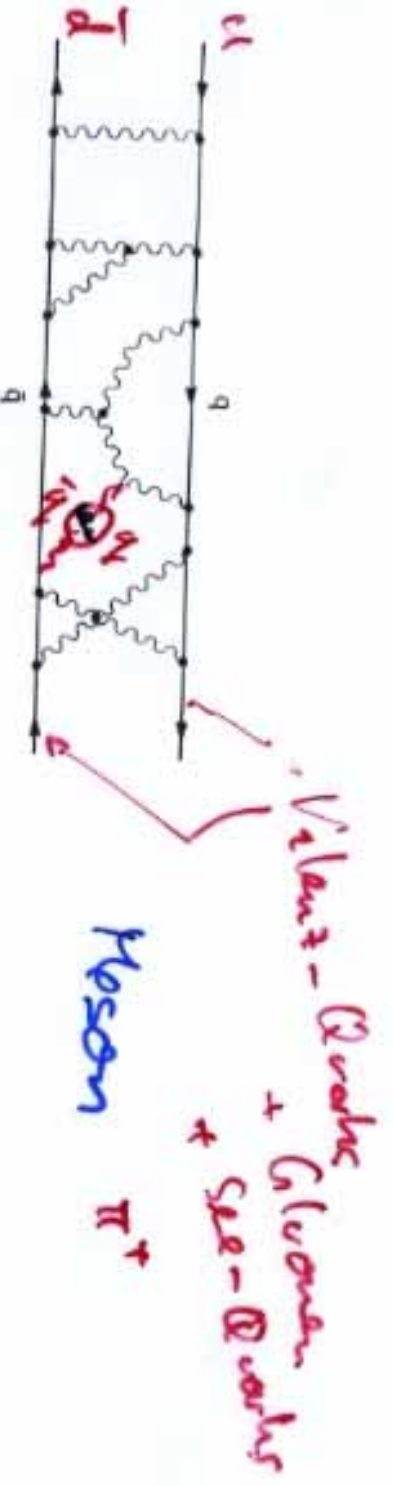
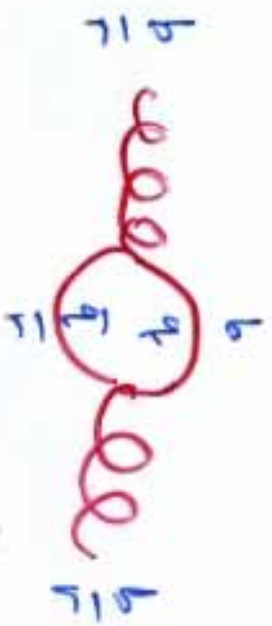
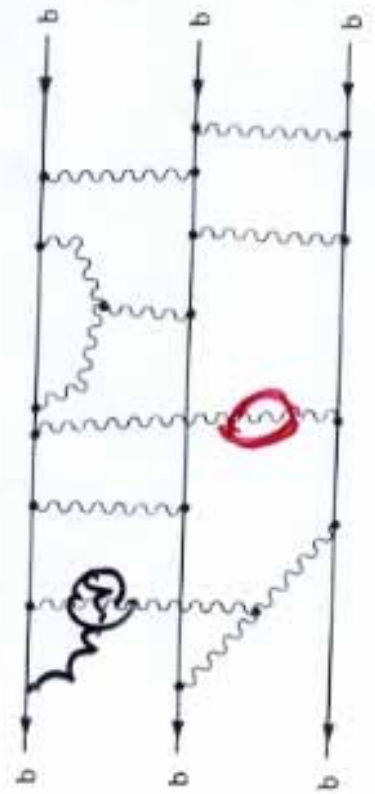


Bild 32.5 Die Quarks im Hadron sind durch fortwährenden Austausch von Gluonen aneinander gebunden.



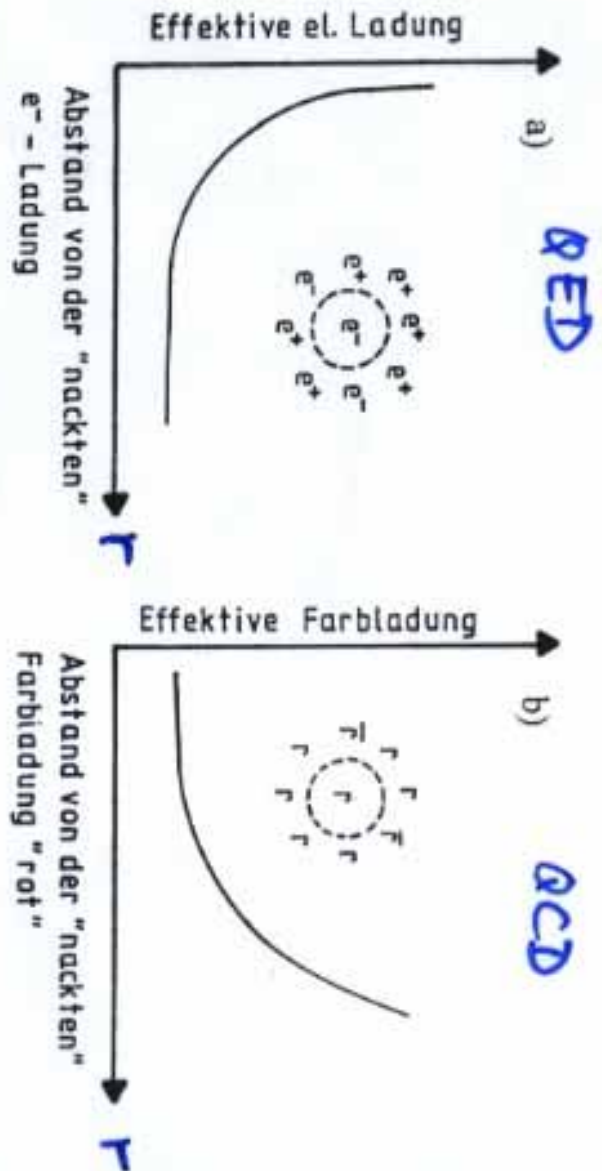


Abb. 33.3 (a) Virtuelle Quark-Antiquark-Paare und Gluonen verstärken die Farbladung eines Quarks. Dieser Effekt wird durch Feynman-Diagramme wie in (b) beschrieben.

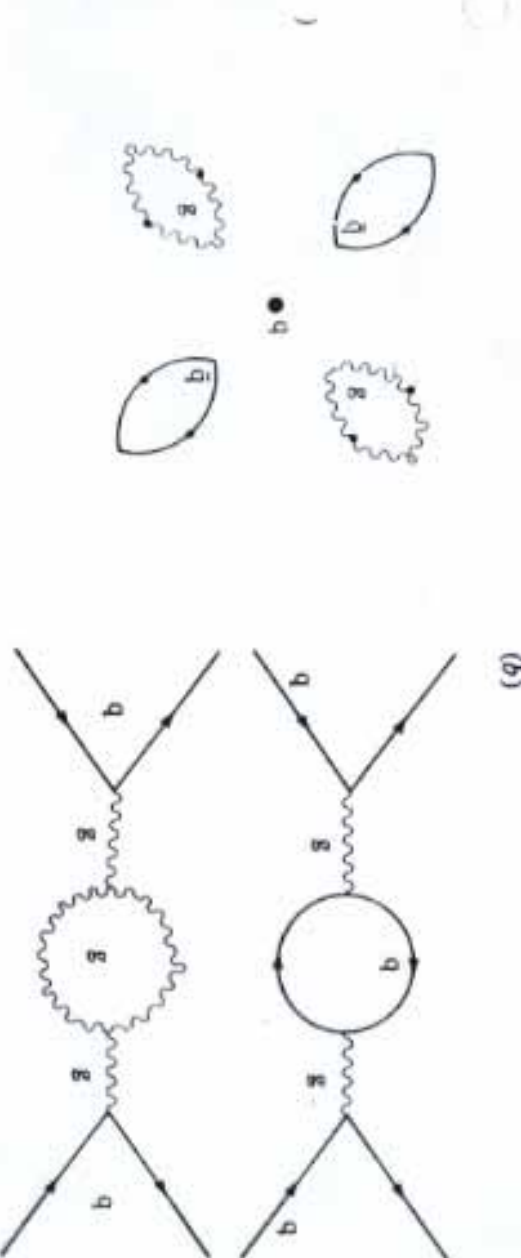


Abb. II.29: Vakuumpolarisationsdiagramme der QED und QCD

# "Running $\alpha_s$ "

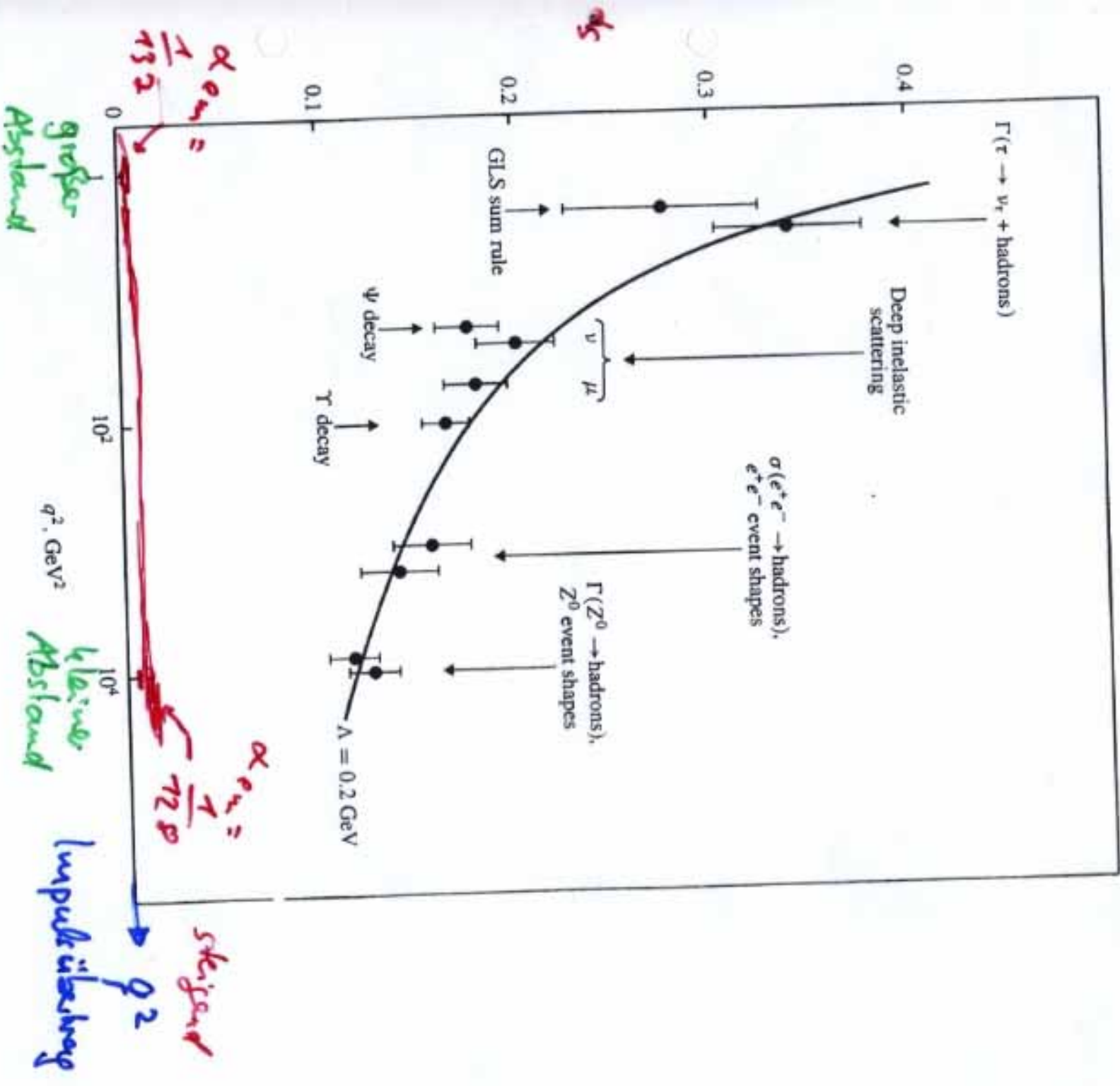
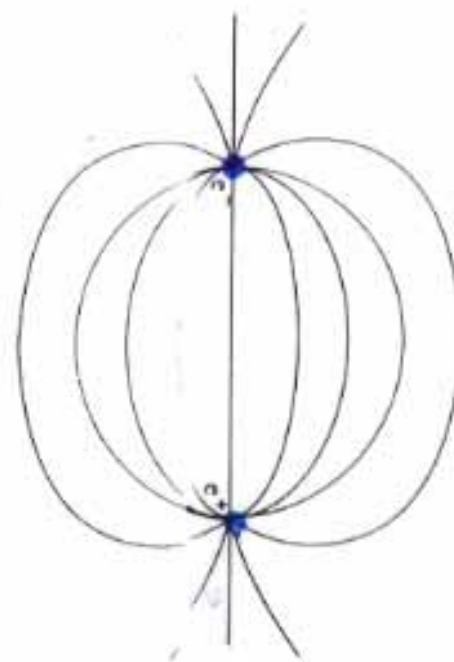
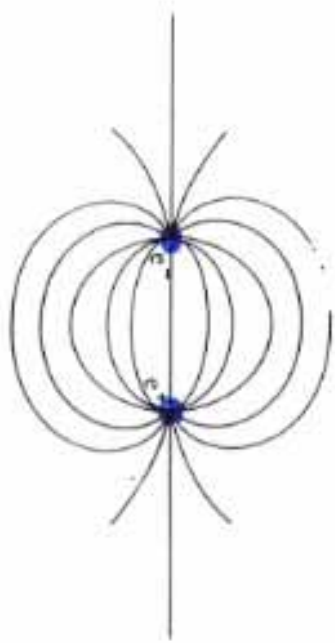


Fig. 6.12. Variation of the QCD coupling parameter  $\alpha_s$  with  $q^2$ . The data come from various sources, as described in the text. The curve is the prediction (6.23) for  $\Lambda \simeq 200 \text{ MeV}$ .

# QED

Feldlinien



## QCD

Feldlinien

"Schlauch"



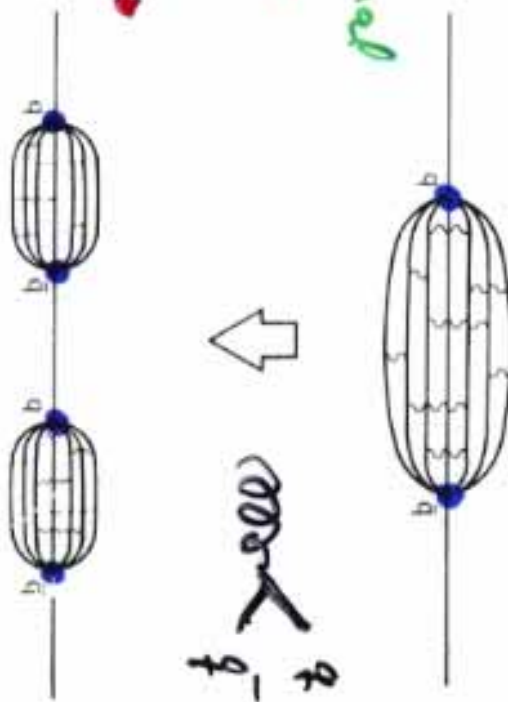
"String"

quasi- 3-dimensional

Feldenergie wird größer  
 $E > m(q) + m(\bar{q}) \Rightarrow$

$q\bar{q}$ - Paar aus Vakuum  $\rightarrow$

2 Mesonen

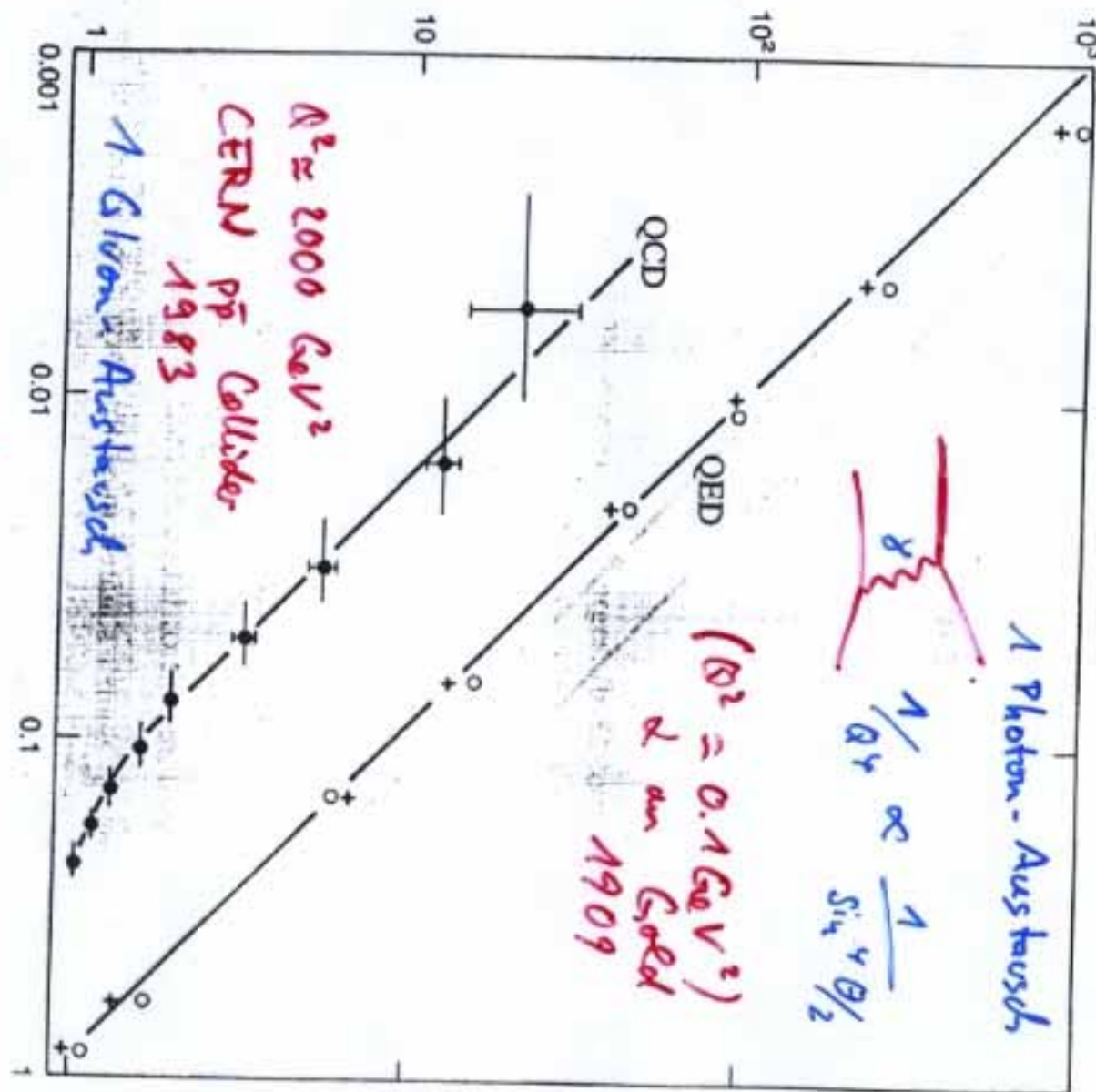


Asymptotische Reihe:  
bei hohem  $Q^2$  ist  $\alpha_s$  klein;  
Quarks frei; 1 Gluon-Austausch

$\alpha_s \approx 0.1 \text{ GeV}^2$

$(Q^2 = 0.1 \text{ GeV}^2)$   
 $\alpha_s$  an Gold

1979



2 Jet-Produktion

Fragmentation

Fragmente mit Wahrscheinlichkeit 100%

Gluonpropagator auch  $\frac{1}{Q^2}$

Confinement

(Farbeinschluss)

" $q\bar{q}$ -Potential"

